

近畿大学理工学部 正員 玉井 元治
会上 正員 ○川原 龍夫

1. まえがき

建設施工の多様化にともない特殊注入工法が多く用いられているが、セメント系を使用する場合には、材料分離の防止や注入特性の改良を目的に鉱物質微粉末のうちベントナイトを混入する傾向がある。

本研究は、ベントナイト一木系、セメント一木系、および、ベントナイト一木一セメント系の定常流におけるレオロジー特性と、それ等の軟硬化過程をR.C.P法(Raised Cosine Pulse Method)^{*1}により測定した結果につき論じたものである。

2. 実験方法

1) 使用材料 セメントは、大阪セメント製の普通ポルトランドセメントを、ベントナイトは、群馬産、山形産、およびワイオミング産を用いた。

2) 材料の調整 ベントナイトは、110°Cで24時間乾燥したもの用い、その溶解は、GE製M45 WHW型ミキサーにより行い、24時間膨潤させたものを使用した。セメント添加後の搅拌時間は、2分間とした。

3) レオロジー量の測定 供試体の温度は、附属温度調節器により20°C一定とし、RA-101型、レオベキシーアナライザ(岩本製作所製)を用い、定常剪断法(2重円筒型、外筒径Φ22mm、内筒径Φ18mm、外筒回転0.01~300 rpm)によりコンシステンシー曲線を求め、また、RCP法(外筒回転角; 1°、パルス周期; 10 sec)により軟硬化性を測定した。

3. 実験結果と考察

1) 定常剪断法によるコンシステンシー曲線

a) Fig. 1は、ベントナイトの種類を変えた懸濁系の剪断速度(D)と剪断応力(τ)の関係を示したものである。この結果によれば、ベントナイト一木比(B/w)が8~10%程度の場合、降伏値を持った擬塑性流(Pseudo Plastic Flow)を示す。

b) Fig. 2は、木一セメント比(W/C)を35~80%に変化したセメントペーストのτ-D曲線であり、(W/C)が小さくなるに従いDに対するτが大きくなり見掛け粘度(η_η)を大きくすることがわかる。またW/Cの低い段階では、降伏値を持った擬塑性流を示すが、高くなるに従い拡張オストワルド流(Extended Ostwald Flow)^{*2}の下部流動パターンに漸近するようである。

c) W/C=60%を一定とし、(B/w)を2~10%に2%毎変化すると、Fig. 3のようになり(B/w)が大きい程(τ)を大きくする。また、(D)が1.0~1.1(sec⁻¹)付近で急激に(τ)を小さくさせるが、この現象は(B/w)に比例するようであり、凝集したフロックの破壊によるものと考えられ、(τ)の減少率の大きいもの程、破壊直後の(D)に対する(τ)の回復は大きく、ダイラタント流(Dilatant Flow)を示す場合もある。これ等の傾向は、(W/C)を極めて大きくした場合(100~500%)においても同様である。

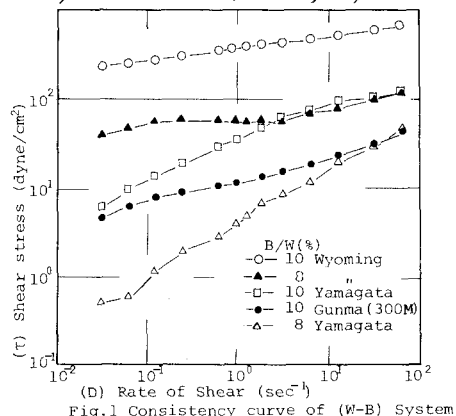


Fig. 1 Consistency curve of (W-B) System

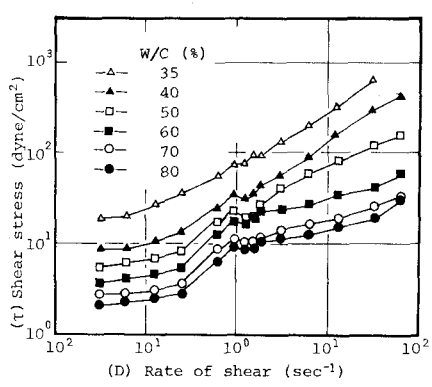


Fig. 2 Consistency Curve of (W-C) System

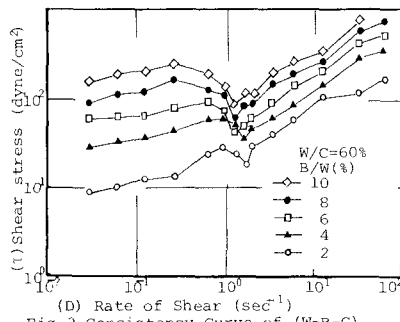


Fig. 3 Consistency Curve of (W-B-C) System

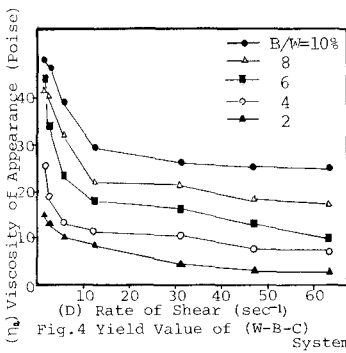


Fig. 4 Yield Value of (W-B-C) System

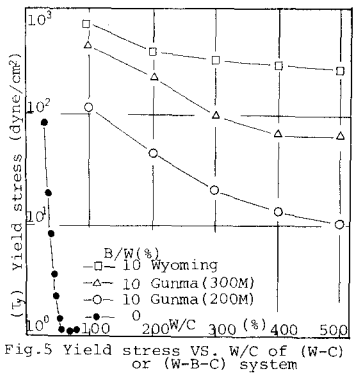


Fig. 5 Yield stress VS. W/C of (W-C) or (W-B-C) system

d) Fig. 4 は、Fig. 3 の値をもとに、見掛け粘度(η_0)を算出し示したものであり、それ等の値は、(D)に反比例の関係を示し、(D)が 15 sec^{-1} 以下で変曲点を表わし、その後(D)を増加しても(η_0)の減少は比較的小い。従って、これら等の懸濁系においては、(D)が $30\sim50\text{ sec}^{-1}$ 付近の(η_0)を塑性粘度(η_p)とみなしても差支えないようである。

e) Fig. 5 は、(B/W)=10%を一定とし、ベントナイトの種類と、(W/C)を変化した場合の各系の降伏応力(γ_y) (近似的に $D=0.0006\text{ sec}^{-1}$ における γ の値)を示したものであり、いずれのベントナイトを用いても $B/W=0$ のものに対し(γ_y)を大きくするが(W/C)の増加は(γ_y)の減少に関与していることを示している。

2) R.C.P法による軟硬化特性 RCPの入力波(破線)と粘塑弾性を示す出力波(実線)をFig. 6に示す。

a) Fig. 7 は、W/C = 60%および100%において、B/Wを変化した試料の30分経過後の時間依存性につき T_2 の増加状況を測定し、その後、再攪拌(200 rpm, 2分間)により、各系の変化状態を調査した。その結果、W/Cが、小さくなると時間依存性が大きくなることを示し、B/Wの増加も各系の変化に関与していることを示している。時間の経過とともに T_2 の上昇は、再攪拌により、ほとんど元の系に近い値に戻り、いずれの系もチキソトロピー性を示すが、ベントナイト混入系の方にその傾向が大きい。

b) Fig. 8 は、化学反応を伴なう軟硬化特性を時間的に把握するため、物性を表わす $V=(T_2-Y)/T_1$ の値(粘性体=1, 弹性体=0)を求めたものである。この結果、セメントペーストおよび、ベントナイト混入系においても、W/Cが小さい程、物性の変化が早いことを示すが、後者は、初期において降伏値を示すYの増加が顕著であり、また、物性変化時間も早めるようである。

4. 結び 以上、主として(W-C)系および(W-B-C)系のレオロジー特性に関して概説したが、セメントペーストは、ベントナイトの存在により相互反応を起し、降伏値および粘性を著しく大きくし分離に対する抵抗性を含む注入特性を大きく改良していることを示した。また、時間依存性のある軟硬化性状についてもベントナイト大きく関与していることを示唆するものである。

参考文献 ※1 梅屋、磯田 日本レオロジー学会誌 Vol. 4 No. 3 p. 133~136

※2 梅屋、磯田、小泉 材料科学 Vol. 7 No. 3 p. 20~29

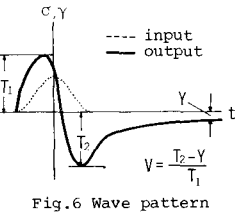


Fig. 6 Wave pattern of R.C.P.

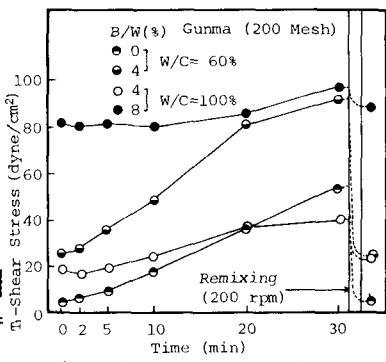


Fig. 7 Thixotropic Properties

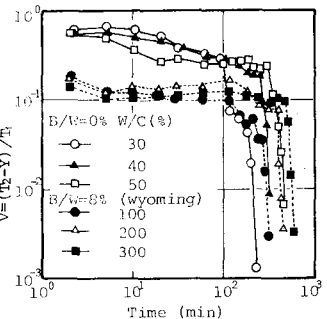


Fig. 8 Hardening Process of (W-C) System or (W-B-C) System